



معماً وجود بلورهای زیرکن‌های بازماندی در توده قلای لان؛ نشانه‌هایی از پوسته گندوانایی در سنگ‌هایی با ویژگی‌های ایزوتوپی گوشه‌ای

ساناز یاجم

بخش زمین‌شناسی دانشگاه پام‌نور، صندوق پستی ۱۹۳۹۵-۳۶۹۷، تهران، ایران

(دریافت مقاله: ۹۵/۲/۱۱، نسخه نهایی: ۹۵/۵/۸)

چکیده: توده‌ی نفوذی قلای لان، توده‌ای وابسته به ژوراسیک پسین، متشکل از سنگ‌های حدواسط تا فلسيک است که در بخش شمالی پهنه‌ی سندج - سيرجان رخمنون دارد. توده‌ای متشکل از سنگ‌های قلایي، پتاسييم بالا، فروئن و وابسته به گروه گرانيت‌هاي A1-type که ویژگي‌های دوگانه‌ای به نمایش‌مي‌گذارد؛ از يکسو ویژگي‌های ایزوتوپي Nd و Sr نشان از دخالت خاستگاهی گوشه‌ای با ویژگی‌های اوليه دارد، از سوی دیگر وجود هسته‌های زیرکن بازماندی (با دامنه‌ای از ۲۳۰ تا ۲۷۰۰ ميليون سال) و مقادير بالاي سن‌های مدل نئوديميم Avg. $\approx 60\text{ YM}\text{a}$ نشان‌مي‌دهد که خاستگاه اين سنگ‌ها، لزوماً يك ماگماي جوان گوشه‌ای وابسته به فرورانش نيست. وجود حجم قابل توجه هسته‌های بازماندی زيرکن ثابت‌مي‌کند ذوب‌بخشی سريع و غيرتعادلي پوسته‌ای از پيش‌بارور شده و داري ویژگي‌های ایزوتوپي اوليه، عامل تشکيل سنگ‌های اين توده است. وجود منطقه‌بندی و بافت پورفiroئيد در توده‌ي، منطقه‌بندی نوسانی بلورهای پلازيوكلاز و فراوانی زيرکن‌های بازماندی همگی از شواهد اين عدم تعادل هستند که در نتيجه انجماد سريع ماگماي مادر قلای لان پديد آمداند.

واژه‌های کلیدی: گرانيت A1-type هسته‌های بازماندی زيرکن؛ ایزوتوپ‌های Nd-Sr؛ سن‌سنجدی SHRIMP؛ توده نفوذی قلای لان؛ پهنه سندج - سيرجان.

برونزدهایی محدود از پی‌سنگ آسنتمیک یا پان‌آفریکن در بخش‌هایی از پهنه‌ی سندج - سيرجان و با استفاده از داده‌های سال‌سنجدی زيرکن آشکار شده‌اند [۹، ۸]. اين پی‌سنگ با دنباله‌هایی از نهشتة‌های پلاتفرم اينفراکامبرین تا ترياس‌ميانی پوشیده شده‌است [۱۰] که فرايندهای فرورانش، فرaranش و برخوردهای قاره‌ای بعدی، تاریخچه اى پيچیده از دگرشکلی، دگرگونی و ماگماتیسم گسترده‌ی آهکی - قلایی را رقم زده‌اند. در بخش شمالی پهنه‌ی سندج - سيرجان، توده‌ی قلای لان با ویژگی‌های ژئوشيمیایي خاص و ميزان قابل توجه از زيرکن‌های بازماندی، قطعه‌ای بسيار جالب اين پازل است (شکل ۱) که طی بررسی‌های پيشين توده‌ای آداکیتی

مقدمه
کوهزاد زاگرس، بخشی از رشته‌کوههای آلب - هیمالیا، گنجینه‌ای بسيار تماشايی از رخدادهای کوهزايی جوان ترشياري است که تاریخچه‌ای کهن از فرورانش و فرارانش ورقه‌های عرب و اورازيا را در خود نهان دارد [۱]. در اين ميان، پهنه‌ی سندج - سيرجان، مرکز رخداد تکتونوماگمايی و دگرگونی کمربند زاگرس [۲]، ميزبان ماگماتيسیمي گسترده از نئوبروروزوبيک تا ائوسن است (شکل ۱). ماگماتيسیمي که حاصل فرورانش طولاني پوسته اقیانوسی نئوتیس به زير ايران و يا بهیانی دیگر به زير قطعات جدا شده و جوش‌خورده‌ی گندوانا (زاگرس و ايران مرکزی) است [۳-۷].

گونه‌هایی از میکروفیل‌های وابسته به تریاس گزارش کرده‌اند که سن ارائه شده توسط حسینی اختیارآبادی [۱۳] را قوت می‌بخشد. تاثیر گرمایی توده، به صورت هاله‌های باریک با درجه‌ی دگرگونی مجاورتی آلبیت-اپیدوت - هورنفلس قابل شناسایی است که این تاثیر، بهویژه در سنگ‌های دگرگون شناسایی مجاور توده آشکارتر است. تعدادی دایک دیابازی و لایه‌ای مجاور توده آشکارتر است. تعدادی دایک دیابازی و رگه‌ی آلبیتی، بیشتر با روند شمالی-جنوبی، توده‌ی قلای‌لان را قطع کرده‌اند. علاوه بر این، لایه‌های بدام افتاده با ظاهر دایک مانند از سنگ‌های دگرگون شده‌ی میزان نیز در متن سنگ‌های گرانیتی وجود دارند (شکل ۱).

توده‌ی قلای‌لان از سنگ‌هایی با ترکیب فلزیک و حدواسط به رنگ‌های سفید - خاکستری و صورتی تشکیل شده است که تنوع بافتی گرانولار (G) تا پورفیروئید (P) را به نمایش می‌گذاردند. بخش گرانولار (G)، برونزدهای میان بلور در بخش شرقی و مرکزی توده است که ترکیبی مونزوگرانیتی دارند و به صورت تدریجی به سمت مرکز، با کوارتزمونزونیت و کوارتزمونزودیوریت‌های ریزدانه جانشین می‌شوند. بخش پورفیروئید حاشیه‌ای (P)، در غرب و جنوب‌غربی توده رخنمون داشته و شامل سنگ‌هایی با ترکیب میکرو-مونزوگرانیت و میکرو-کوارتزمونزودیوریت هستند (شکل ۱).

سنگنگاری

سنگنگاری توده‌ی قلای‌لان را در قالب دو بخش گرانولار و پورفیری به تفکیک مورد بررسی قرار می‌دهیم.

بخش گرانولار دارای بافت هیپیدویومورفیک گرانولار و مشکل از بلورهای پلاژیوکلاز، قلیایی، کوارتز، آمفیبول و بیوتیت است. بلورهای شکل دار پلاژیوکلاز، دارای ماکل پلی‌ستنتیک و کارلسپاد و دارای ترکیب الیگوکلاز - آندزین هستند (جدول ۱). در انواع با منطقه‌بندی، هسته‌هایی با ترکیب آندزین ($An_{49.32}$) و حواشی با ترکیب الیگوکلاز ($An_{21.48}$) دیده می‌شوند. برخی از بلورهای پلاژیوکلاز نیز منطقه‌بندی نوسانی نشان می‌دهند (شکل ۲). فلدسپار قلیایی نیز به صورت بلورهای نیمه شکل دار مزوپریتی، گاهی دارای ماکل کارلسپاد و گاهی در قالب هم رشدی با کوارتز (بافت گرانوفیری) دیده می‌شوند.

بلورهای کوارتز بی‌شکل و میان‌دانه‌ای به عنوان آخرین فاز تبلور و نیز به صورت هم‌رشدی گرانوفیری با فلدسپار قلیایی دیده می‌شوند. کانی فرومیزین اصلی در این دسته سنگ‌ها، عبارتند از بیوتیت و آمفیبول. آمفیبول، بلورهایی شکل دار با

معرفی شده‌است [۱۱]. در این مقاله ضمن بررسی ویژگی‌های صحرایی، سنگ‌شناسی و زمین‌شیمی، توده قلای‌لان به ارائه‌ی داده‌های ایزوتوپی Nd-Sr و سنی پرداخته و با ترکیب داده‌ها با نتایج سن‌سنجی هسته‌های بازماندی، سناریوی جدیدی از فرایندهای تکتونوماگمایی منطقه‌ی ارائه خواهد شد.

روش بررسی

به منظور تعیین چگونگی شکل‌گیری سنگ‌های نفوذی توده قلای‌لان، میزان عناصر اصلی نمونه‌های انتخابی، پس از گدازش با تربابورات لیتیم به روش فلورسانس پرتو ایکس^۱ تعیین شد. تعیین میزان عناصر فرعی و جزئی به روش ICPMS^۲ در دانشگاه گرانادا صورت گرفت که شامل ۳۹ عنصر فرعی، ۱۴ عنصر نادرخاکی (REE)، توریم و اورانیوم بوده است. دقت معمول برای یک نمونه با غلظت ۱۰ درصد وزنی بیشتر از $\pm 1.5\%$ است. تجزیه ریزپردازشی الکترونی^۳، به منظور تعیین میزان عناصر اصلی کانی‌ها با استفاده از ریزپردازندگی مدل JEOL JXA-8200 مجهز به چهار طیفسنج در دانشگاه ولوا اسپانیا انجام گرفت. این دستگاه دارای شتاب‌دهنده‌ای به ولتاژ ۱۵kV و جریان ۵nA بوده است. نمونه‌های انتخابی به منظور بررسی ایزوتوپ‌های نتودیمیم و استرانسیم در بخش ایزوتوپی مجتمع آزمایشگاهی دانشگاه گرانادا تجزیه شدند. نمونه‌ها در یک اتاق کاملاً سترون در یک واکنشگر خالص و سترون حل شده و پس از جداش کروماتوگرافی با رزین‌های تبادل‌یونی، با طیفسنج جرمی یونش گرمایی (TIMS) تجزیه شدند. نسبت‌های $^{87}\text{Rb}/^{86}\text{Sr}$ و $^{147}\text{Sm}/^{144}\text{Nd}$ ^۴ مستقیماً به وسیله ICP-MS و به روش ابداعی توسط مونترو و به آ [۱۲] تعیین شدند.

موقعیت زمین‌شناسی و روابط صحرایی

توده‌ی نفوذی قلای‌لان در جنوب دهکده‌ی قلای‌لان، ۸۰ کیلومتری جنوب‌شرق سندنج، مرکز استان کردستان قرار دارد. واحدهای درونگیر این توده، بیشتر از سنگ‌های آتشفسانی بازی دگرگون شده با میان‌لایه‌هایی از مرمر چین‌خورده تشکیل شده‌اند (شکل ۱). این واحدها در جنوب توده‌ی قلای‌لان، با استناد به وجود فسیل کرینوئید، توسط حسینی اختیارآبادی [۱۳]، به تریاس نسبت داده شده‌اند. در بخش‌های جنوبی تر (اطراف چرمله و میخوران سادات)، اشرافی و همکاران [۱۴]

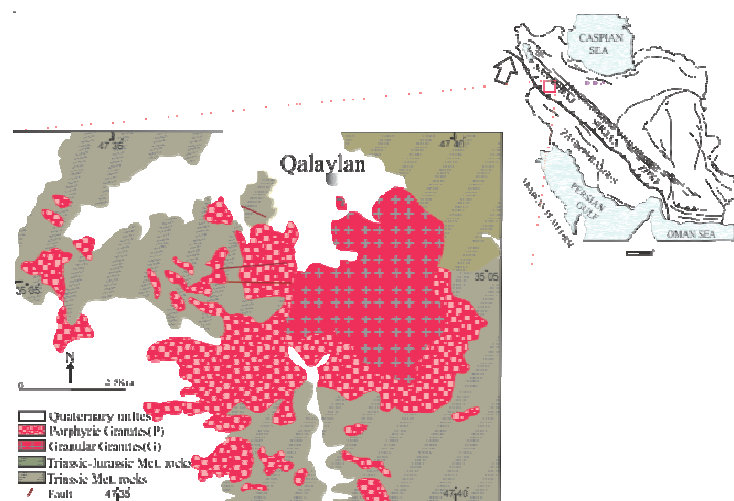
1-XRF

2- Inductively Coupled Plasma Mass Spectrometry

3-Electron Microprobe Analysis

فرومیزین اصلی، کلینوپیروکسن با ترکیب اوژیت ($Wo_{48}Fs_{14}En_{38}$) است (جدول ۲) که به صورت بلورهای میله‌ای تبلور یافته است (شکل ۲). آلانیت فراوان ترین کانی فرعی این سنگ‌هاست که به صورت بلورهایی نیمه‌شكل دار تا بی‌شکل و ریز متبلور شده و توسط اپیدوت بی‌شکل احاطه شده‌اند. مگنتیت، تیتانیت، آپاتیت و زیرکن نیز کانی‌های فرعی هستند. نبود یا میزان بسیار ناچیز کانی ایلمنیت نکته‌ای قابل تأمل در سنگ‌های این توده است.

ترکیب مگنزیوهرنبلند می‌باشد (جدول ۲). آمفیبولهای توده قلای لان، رکورددار بالاترین میزان فلوئور بین تمامی توده‌های است و در دامنه‌ای از ۱۰۷ تا ۱۱۰۷ تغییر می‌کند و به جرات می‌توان آن‌ها را مگنزیوهرنبلند فلوئوردار نام نهاد. بیوتیت به صورت بلورهایی شکل دار و ریز تا متوسط (۵ - ۲۰ میلی‌متر) تبلور یافته است که رکورددار بالاترین میزان فلوئور است. میانگین این عنصر در بیوتیتها از میانگین آمفیبولوها نیز بالاتر است و در دامنه‌ای از ۰۱۲ تا ۰۲۱ تغییر می‌کند (جدول ۲). در سنگ‌های کوارتزمونزونیت و کوارتزمونزونوپیوریتی، کانی



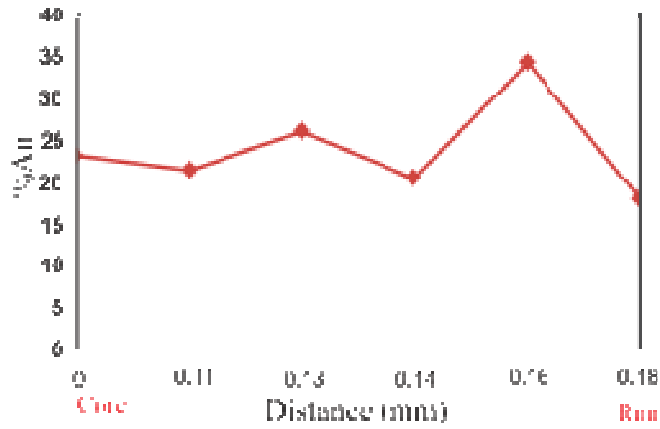
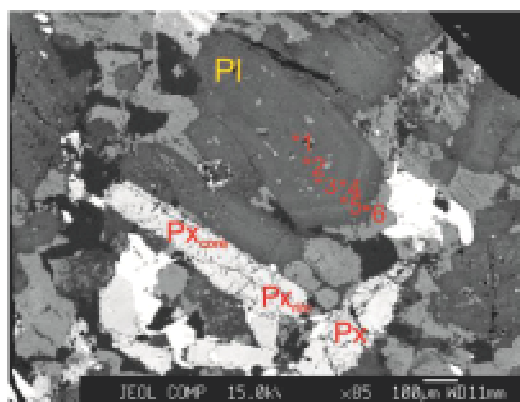
شکل ۱ نقشه‌ی زمین‌شناسی از رخنمون سنگ‌های لوکوگرانیتی توده‌ی قلای لان.

جدول ۱ نتایج تجزیه ریزپردازشی و فرمول ساختاری پلازیکلазهای انتخابی از توده قلای لان.

میکرومونزونگرانیت پورفیری	کوارتز مونزونیت گرانولار								نوع سنگ
	آلبیت	آلبیت	الیگوکلاز	آندرزین	الیگوکلاز	الیگوکلاز	الیگوکلاز	الیگوکلاز	
۶۶,۰۶	۶۶,۰۹	۶۳,۶۵	۵۹,۱۲	۶۲,۳۶	۶۰,۸۹	۶۱,۹۰	۶۱,۲۵	۶۱,۲۵	نوع پلازیکلاز
-	-	۰,۰۲	۰,۰۳	۰,۰۰	۰,۰۸	-	۰,۰۴	۰,۰۴	نقطه تجزیه شده
۲۱,۲۶	۲۱,۰۱	۲۲,۸۹	۲۵,۶۷	۲۳,۲۶	۲۴,۲۰	۲۳,۳۲	۲۳,۸۰	۲۳,۸۰	SiO ₂
۰,۱۰	-	۰,۱۱	-	-	۰,۰۵	۰,۰۶	۰,۰۵	۰,۰۵	TiO ₂
۰,۰۱	-	۰,۰۰	-	۰,۰۱	۰,۰۰	-	۰,۰۲	۰,۰۲	Al ₂ O ₃
۰,۰۳	-	۰,۱۹	۰,۲۳	۰,۲۷	۰,۲۱	۰,۲۴	۰,۲۴	۰,۲۴	Cr ₂ O ₃
-	-	-	۰,۰۲	۰,۰۲	-	-	-	-	NiO
-	-	-	۰,۰۱	۰,۰۱	۰,۰۲	-	-	-	FeO
۱,۴۲	۱,۲۷	۳,۶۸	۷,۰۷	۴,۲۲	۵,۳۹	۴,۳۷	۴,۸۰	۴,۸۰	MnO
۱۰,۵۲	۱۰,۴۳	۸,۹۹	۷,۲۹	۸,۷۷	۸,۱۹	۸,۵۴	۸,۵۱	۸,۵۱	MgO
۰,۰۶	۰,۱۰	۰,۰۹	۰,۱۱	۰,۱۴	۰,۱۴	۰,۱۶	۰,۱۱	۰,۱۱	CaO
-	۰,۰۷	-	۰,۰۳	۰,۰۷	۰,۰۳	۰,۱۳	۰,۰۲	۰,۰۲	Na ₂ O
-	۰,۱۹	۰,۱۲	-	۰,۰۲	-	-	۰,۰۹	۰,۰۹	K ₂ O
۹۹,۵۷	۹۹,۲۶	۹۹,۸۷	۹۹,۶۷	۹۹,۳۰	۹۹,۳۷	۹۸,۸۳	۹۹,۰۶	۹۹,۰۶	BaO
فرمول ساختاری بر مبنای (60)									
۰,۰۷	۰,۰۶	۰,۱۸	۰,۳۵	۰,۲۱	۰,۲۶	۰,۲۲	۰,۲۴	۰,۲۴	x _{an}
۰,۹۳	۰,۹۳	۰,۸۱	۰,۶۵	۰,۷۸	۰,۷۳	۰,۷۷	۰,۷۶	۰,۷۶	x _{ab}
-	-	-	-	-	-	-	-	-	x _{or}

جدول ۲ نتایج ریزپردازشی و فرمول ساختاری کانی‌های پیروکسن، آمفیبول و بیویت از نمونه‌های توده قلای لان.

نام	پیروکسن	اوژیت (هسته)	اوژیت (حاشیه)	نام کانی	مگنزیوهرنبلند	آمفیبول	نام کانی	ادنیت	نام کانی	بیویت	نام کانی
SiO ₂	۵۱,۹۵	۵۱,۹۳	۴۹,۴۷	SiO ₂	۴۷,۸۷	۴۷,۲۵	TiO ₂	۰,۹۸	TiO ₂	۲,۲۵	TiO ₂
Al ₂ O ₃	۱,۰۳	۰,۶۲	۴,۸۰	Al ₂ O ₃	۶,۲۸	۱۳,۸۷	Cr ₂ O ₃	۰,۰۲	Cr ₂ O ₃	۰,۰۷	Cr ₂ O ₃
NiO	۰,۰۵	زیر حد تشخیص	زیر حد تشخیص	NiO	۰,۰۱	۰,۰۲	FeO	۱۲,۷۱	FeO	۱۴,۲۷	FeO
MnO	۱,۳۲	۱,۸۸	۱,۴۲	MnO	۱,۴۱	۰,۸۳	MgO	۱۴,۶۳	MgO	۱۵,۲۴	MgO
MgO	۱۲,۶۱	۱۲,۹۵	۱۶,۲۲	MgO	۱۴,۶۳	۰,۰۱	CaO	۱۱,۵۹	CaO	۰,۰۱	CaO
Na ₂ O	۰,۶۶	۰,۴۴	۱,۱۸	Na ₂ O	۱,۴۷	۰,۱۱	K ₂ O	۰,۷۲	K ₂ O	۹,۸۷	K ₂ O
K ₂ O	۰,۰۱	۰,۰۳	۰,۷۵	K ₂ O	۰,۷۲	۰,۶۹	BaO	۹۹,۳۴	BaO	۹۷,۵۶	BaO
F	۲۲,۳۱	۲۱,۶۵	۱,۳۰	F	۱,۲۱	۲,۰۸	Cl	زیر حد تشخیص	Cl	زیر حد تشخیص	Cl
Total	۹۹,۲۲	۹۹,۳۴	۹۸,۲۷	Total	۹۸,۷۷	۹۷,۵۶	۹۷,۶۲	تعداد یونها بر مبنای ۱۱O	۲۳O	تعداد یونها بر مبنای ۶O	۴ cations



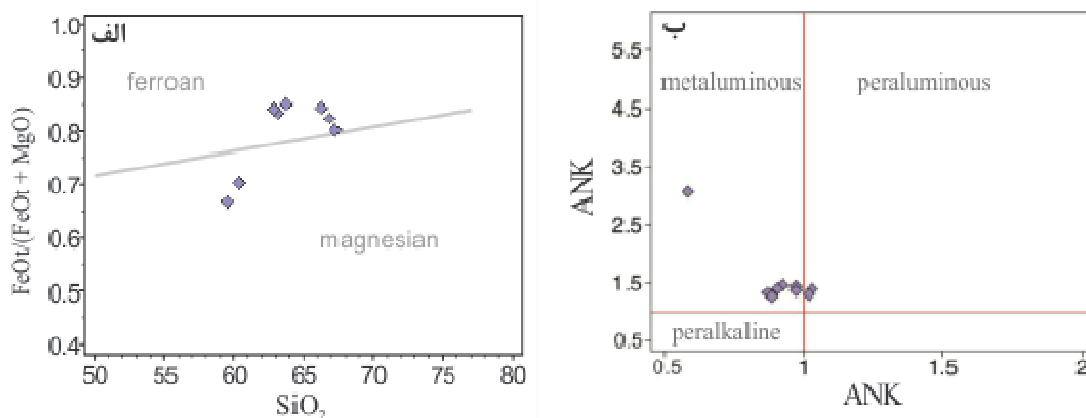
شکل ۲ تصویر پسپراکنده (backscatter) الکترونی از منطقه‌بندی بلورهای پلازیوکلаз در کوارتزموனوزونیت‌های گرانولار و بلورهای پیروکسن میله‌ای شکل، با ترکیب اوژیت.

اثبات نمود. چنانچه دانه‌های ریز کلسیت را حاصل دگرسانی هسته‌ی کلسیک پلازیوکلاز بدانیم، آثاری از این دگرسانی در سایر بخش‌های بلور پلازیوکلاز نیز باید مشاهده شود که با سالم و نادگرسان بودن پلازیوکلازها این فرضیه رد می‌شود.

ژئوشیمی

قلای لان توده‌ای متشکل از سنگ‌های فلزیک و حد بواسطه است ($\text{SiO}_2 = 60\text{--}70 \text{ wt\%}$). تمامی نمونه‌های قلای لان، پتابسیم بالا، متال‌الومین تا کمی پرآلومین هستند ($\text{ASI} = 0,87 - 1,00$) (شکل ۳) و به جز نمونه‌های پورفیروئید حاشیه‌ای، همگی فروئن هستند ($\text{Mg} \# = 0,24 - 0,30$) (شکل ۳).

بخش پورفیروئید حاشیه‌ای متشکل از فنوکریستهای ریزدانه‌ی (۵-۱میلی‌متر) ارتوکلاز مزوپیرتیتی شکل دار تا نیمه‌شکل دار و دارای ماکل کارلسbad، پلازیوکلاز شکل دار با ترکیب آلبیتی (An_{4-6})، کوارتزهای بی‌شکل گاهی با حواشی خلیجی و گلومروفیرهای اپیدوت و کلسیت است که در زمینه‌ای ریزبلور و جهت‌یافته متشکل از کانی‌های کوارتز، فلدسپار قلیایی، اپیدوت و ندرتاً بیویت تبلور یافته‌اند. ویژگی منحصر به فرد سنگ‌های این بخش، فراوانی کلسیت و اپیدوت‌های ریز، گرد و بی‌شکل پراکنده در متن سنگ است. بررسی دقیق دانه‌های کلسیت بهدام افتاده در بلورهای پلازیوکلاز بیگانه بودن این بلورها را

ACNK (Molar $\text{Al}_2\text{O}_3 / \text{CaO} + \text{K}_2\text{O} + \text{Na}_2\text{O}$) در برابر SiO_2 (wt%) در برابر $\text{FeOt} / (\text{FeOt} + \text{MgO})$ [۱۵] ANK (Molar $\text{K}_2\text{O} + \text{Na}_2\text{O} / \text{Al}_2\text{O}_3$) در برابر ANK

[۱۶]

$Ndt = 0.25t^2 - 3t + 8.5$ ، با به کارگیری مقادیر گوشه تهی شده ($t = 2 - 3$) محاسبه شده است.

سن‌سنجی هسته‌های بازماندی زیرکن

زیرکن یکی از کانی‌های فرعی معمول در سنگ‌های توده‌ی قلای لان است که تصاویر کاتدولومینه‌سازی تهیه شده از این بلورها نشان می‌دهد که زیرکن‌های این توده سفیدرنگ و دارای منطقه‌بندی نوسانی هستند. نتایج تجزیه‌ی SHRIMP پنجاه و دو بلور از این توده نشان می‌دهد که این هسته‌ها واقعاً بازماندی بوده و دامنه‌ی سنی از ۲۳۰ میلیون سال تا ۲۷۰۰ میلیون سال دارند (شکل ۵ (الف)). توزیع پیچیده‌ی سن‌های بازماندی در نگاره‌ی تراکم کرنل، نتایجی از نثوارکن، پائوپروتروزوئیک، پان‌آفریکن تا سن‌های جوان‌تر را نشان می‌دهد (شکل ۵ (ب)). برخلاف هسته‌های بازماندی، حواشی ماقمایی دانه‌های زیرکن، سن تبلور حقیقی را معادل با 3 ± 159 میلیون سال (ژوراسیک پسین) نشان می‌دهند [۱۹].

بحث و برداشت

سنگ‌های قلای لان، قلایی، پتاسیم بالا، فروئن ($0.76 < \text{Fe}^{+2} < 0.70$) هستند و میزان Al/Ga نسبتاً بالایی دارند. غنی‌شدگی از عناصر HFS مانند $\text{Ta}, \text{Nb}, \text{Zr}, \text{Ga}$ و Pb و جدایی از عناصر نادرخاکی سبک ($19 < \text{La}_N/\text{Lu}_N < 15$) و دارابودن بالاترین میزان محتوای فلور از کانی‌های بیوتیت و آمفیبول، نبود تهی‌شدگی از Eu در الگوی توزیع عناصر نادرخاکی، موید ماهیت A-type این توده بوده و با استفاده از نمودارهای تشخیصی نیز تایید می‌شود. بنابر رده بندی [۲۱، ۲۰] در دسته‌ی گرانیت‌های A1-type قرار می‌گیرند (شکل ۶).

میزان بالای نسبت Nb/Y , Nb/Ta , Nb/Al و غنی‌شدگی از عناصر HFS مانند $\text{Ta}, \text{Nb}, \text{Zr}$ از ویژگی‌های توده‌ی قلای لان هستند. نسبت پایین Rb/Sr (۰.۵۰-۰.۱۷) و Ba/Rb (۰.۳۰-۰.۰۳) نشانده‌نده‌ی تمرکز بالای Nb (۲۲۷۲ ppm) و Sr (۳۱۷-۱۰۷۴ ppm) در سنگ‌های این توده است (جدول ۳). سنگ‌ها غنی‌شدگی نسبی از عناصر LIL نسبت به HFS هستند و در نمودارهای چند عنصری، تهی‌شدگی آشکار از $\text{Zr}, \text{Ti}, \text{K}, \text{Pb}, \text{Sm}$ و غنی‌شدگی آشکار از Nb نشان می‌دهند.

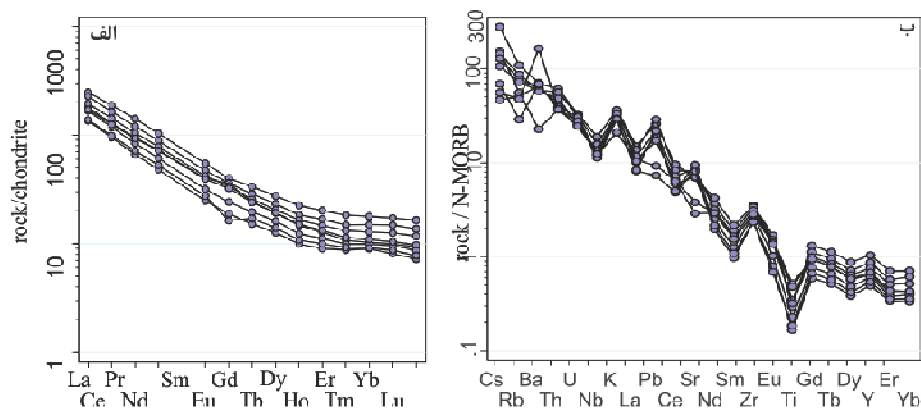
الگوی توزیع عناصر نادرخاکی، عادی‌سازی شده با کندربیت، نشان می‌دهد که در سنگ‌های توده‌ی قلای لان، شاخص جدایی از عناصر نادرخاکی بالاست ($19 < \text{La}/\text{Lu}_N < 15$). این امر با شبیه نسبتاً تند از عناصر نادرخاکی سبک به عناصر نادرخاکی سنگین تایید می‌شود. تهی‌شدگی از یوروپیوم وجود ندارد یا در برخی نمونه‌ها بسیار ناچیز است. علاوه بر این، الگوی نسبتاً خطی از Lu تا Ho وجود دارد (شکل ۴) [۱۷، ۱۶]. مقدار عددی بی‌هنجری یوروپیوم نیز مثبت است ($\text{Eu}/\text{Eu}^* = 1.16 - 1.75$).

ژئوشیمی ایزوتوپی

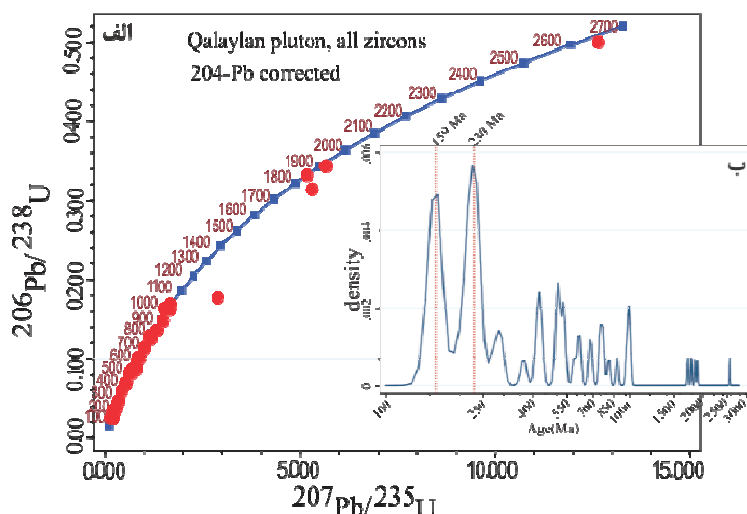
سنگ‌های توده قلای لان با دارا بودن $\text{Nd}_{(150\text{Ma})}$ مثبت کوچک (< 1) و $^{87}\text{Sr}/^{86}\text{Sr}$ اولیه‌ی از 0.7045 ± 0.0043 تا 0.7048 در گستره‌ی آرایه‌ی گوشه‌ای قرار دارند. نکته‌ی قابل تأمل دیگر مقدار بالای سن مدل نئودیمیم است که در بازه‌ای از ۶۴۸ تا ۶۵۸ میلیون سال، نئوپروتروزوئیک، تغییر می‌کند. لازم به یادآوری است که سن مدل نئودیمیم (T_{DM})، با اقتباس از تعاریف دیاپولو [۱۸]

جدول ۳ ترکیب عناصر اصلی، فرعی و نادر نمونه‌های منتخب از سنگهای توده قلای لان

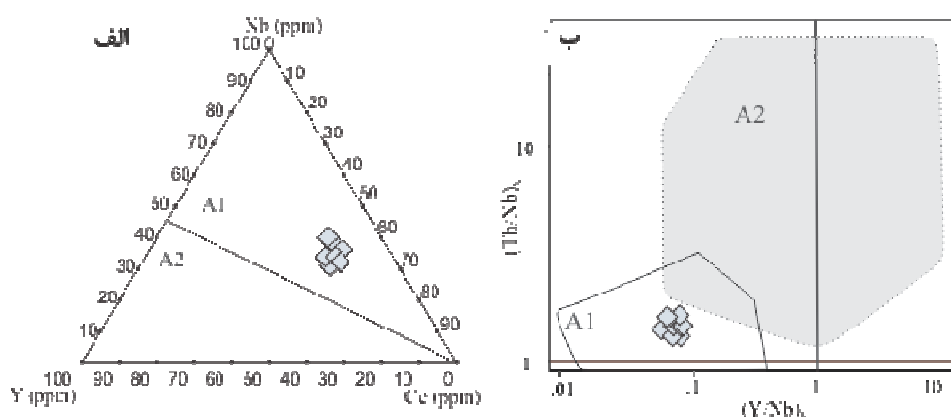
نام نمونه	QAS7	QAS3	QAS8	QAS1	QAS2	QAS5	QAS6	QAS4
SiO ₂	۶۶,۲۷	۶۲,۸۶	۶۳,۷۹	۶۲,۱۸	۶۶,۸۹	۶۷,۲۷	۵۹,۵۰	۶۰,۴۲
TiO ₂	۰,۳۷	۰,۵۲	۰,۴۸	۰,۵۶	۰,۳۰	۰,۲۷	۰,۸۴	۰,۷۸
Al ₂ O ₃	۱۶,۸۸	۱۷,۷۵	۱۷,۹۸	۱۷,۶۸	۱۶,۹۱	۱۷,۰۹	۱۸,۴۴	۱۶,۳۲
Fe ₂ O ₃	۲,۷۵	۲,۵۵	۲,۴۰	۲,۶۸	۲,۲۰	۲,۱۱	۴,۶۸	۴,۳۸
MgO	۰,۵۱	۰,۶۷	۰,۶۰	۰,۷۳	۰,۴۷	۰,۵۲	۲,۳۳	۱,۸۵
MnO	۰,۱۱	۰,۱۵	۰,۰۹	۰,۱۵	۰,۰۴	۰,۰۴	۰,۱۶	۰,۱۲
CaO	۳,۱۲	۳,۸۸	۲,۵۲	۳,۸۰	۲,۷۷	۲,۰۲	۳,۵۷	۳,۰۸
Na ₂ O	۴,۸۲	۵,۲۷	۵,۳۰	۵,۲۲	۵,۴۸	۵,۹۱	۶,۰۷	۶,۳۳
K ₂ O	۳,۴۹	۳,۲۰	۳,۸۵	۳,۵۵	۳,۱۰	۳,۱۳	۲,۲۱	۲,۲۲
P ₂ O ₅	۰,۱۰	۰,۱۸	۰,۱۴	۰,۱۷	۰,۰۸	۰,۰۷	۰,۲۹	۰,۲۷
LOI	۰,۹۰	۰,۹۰	۰,۹۰	۰,۸۵	۰,۸۹	۰,۸۴	۰,۸۴	۳,۲۲
Total	۹۹,۳۲	۹۸,۹۱	۹۹,۵۰	۹۹,۴۴	۹۹,۱۳	۹۹,۲۷	۹۹,۳۳	۹۹,۰۰
Li	۷,۴۲	۸,۵۹	۱۱,۶۹	۱۱,۵	۱۱,۵	۸,۷۰	۱۷,۰۵	۱۸,۲۷
Rb	۹۱,۶۴	۹۷,۷۵	۱۳۷,۵۵	۱۰,۹۵۱	۶۰,۱۵	۶۳,۸۳	۷۰,۳۷	۲۶,۴۷
Cs	۱,۵۰	۱,۸۲	۲,۹۳	۲,۹۰	۲,۰۴	۲,۱۳	۲,۱۸	۰,۹۷
Be	۲,۵۱	۲,۳۳	۲,۱۶	۲,۸۰	۲,۰۵	۲,۰۵	۱,۸۹	۱,۴۹
Sr	۷۹,۸۳۹	۷۹,۸۴۸	۷۹,۰۵۶	۹۱۶,۸۸	۱-۷۴,۳۷	۹۲۱,۲۶	۴۳۱,۲۵	۳۲۷,۹۳
Ba	۸۰,۴۱۵	۸۰,۵۰	۸۰,۵۰	۹۷۶,۸۷	۲۲۷۲,۸۲	۹۲۳,۷۴	۳۱۶,۰۹	۹۰۵,۱۷
Sc	۱,۷۸	۲,۷۰	۲,۱۸	۳,۱۶	۱,۳۸	۱,۱۹	۶,۴۵	۶,۲۲
V	۲۸,۰۲	۳۷,۱۴	۴۳,۹۲	۴۴,۱۷	۲۱,۸۰	۱۸,۳۵	۶۷,۷۵	۶۵,۵۰
Cr	۱۰,۸۸	۵۱,۴۸	۵۱,۴۸	۷۱,۰۲	۱۰,۳۴	۱۰,۹۲	۰,۹۱	۶۸,۸۱
Co	۲,۶۶	۳,۷۵	۴,۱۸	۴,۱۰	۲,۳۱	۱,۰۳	۶,۲۴	۷,۸۱
Ni	۰,۹۴	۴,۴۱	۵,۳۹	۵,۳۹	۰,۱۸	۰,۸۴	۱۰,۳۰	۱۱,۱۵
Cu	۰,۲۵	۶,۰۲	۶,۰۲	۶,۰۱	۰,۱۴	۰,۳۱	۴,۰۳	۸,۵۸
Zn	۰,۷۸,۸۸	۸۴,۲۹	۷۱,۶۵	۷۱,۶۵	۲۵,۶۷	۲۶,۰۲	۲۶,۷۳	۵۶,۷۳
Ga	۲۴,۴۴	۲۳,۹۶	۲۱,۶۴	۲۱,۶۴	۲۲,۳۴	۲۱,۳۶	۲۱,۳۸	۲۰,۶۹
Y	۲۱,۸۵	۲۷,۲۴	۳۷,۱۸	۳۷,۱۱	۱۹,۴۶	۱۷,۶۸	۲۲,۱۹	۲۴,۴۹
Nb	۴۸,۰۰	۴۶,۶۶	۶۶,۱۵	۶۶,۱۵	۳۹,۶۹	۴۲,۸۵	۴۲,۳۶	۴۳,۵۱
Ta	۲,۶۷	۲,۷۹	۳,۹۴	۳,۹۴	۲,۲۵	۲,۴۰	۲,۴۶	۲,۴۷
Zr	۲۸۷,۶۰	۲۲۶,۲۰	۲۳۵,۰۰	۲۳۵,۰۰	۲۴۵,۳۰	۲۴۴,۹۰	۲۹۰	۲۹۶,۶۰
Hf	۸,۸۰	۱۰,۴۰	۱۱,۷۰	۱۱,۵۰	۶,۳۰	۶,۹۰	۶,۹۰	۷,۳۰
Mo	۲,۳۰	۲,۲۷	۲,۲۴	۳,۶۲	۱,۸۹	۱,۷۴	۰,۵۹	۱,۳۷
Sn	۱,۰۰	۱,۶۲	۲,۴۲	۱,۹۰	۱,۳۶	۱,۳۲	۱,۳۲	۱,۴۰
Tl	۰,۲۹	۰,۳۵	۰,۴۹	۰,۳۶	۰,۲۰	۰,۳۳	۰,۱۵	۰,۱۵
Pb	۹,۰۰	۱۰,۵۵	۱۰,۵۵	۱۲,۶۵	۱۰,۸۱	۱۰,۸۰	۴,۰۵	۸,۴۰
U	۱,۸۰	۱,۹۰	۲,۳۴	۲,۲۶	۱,۹۷	۲,۱۷	۱,۸۰	۱,۷۴
Th	۹,۰۲	۹,۷۱	۱۰,۱۳	۱۱,۴۲	۶,۹۶	۶,۹۱	۶,۹۱	۶,۹۱
La	۳۹,۵۰	۴۶,۱۵	۵۰,۱۵	۵۰,۹۲	۳۲,۶۹	۳۲	۴۲,۳۸	۴۰,۶۰
Ce	۷۲,۲۱	۷۲,۷	۷۷	۱۱۰,۰۷	۱۰۰,۱۵	۶۰,۲۱	۵۸,۰۵	۷۶,۵۱
Pr	۷,۸۱	۹,۷۱	۱۰,۱۳	۱۱,۱۵	۶,۶۶	۶,۱۷	۸,۸۰	۸,۶۶
Nd	۲۷,۹۵	۳۵,۷۴	۴۷,۲۱	۴۷,۲۱	۲۴,۱۶	۲۱,۹۹	۲۲,۲۷	۲۲,۸۳
Sm	۴,۷۰	۶,۲۱	۸,۱۳	۸,۹۸	۴,۰۸	۴,۹۲	۵,۹۲	۵,۸۲
Eu	۱,۳۷	۱,۹۱	۲,۲۵	۲,۰۴	۱,۰۶	۱,۰۳	۱,۰۳	۱,۰۳
Gd	۳,۹۰	۵,۰۸	۵,۰۸	۵,۷۰	۳,۴۰	۳,۰۲	۴,۸۰	۴,۷۹
Tb	۰,۵۹	۰,۷۴	۰,۷۴	۰,۸۴	۰,۴۶	۰,۷۰	۰,۷۰	۰,۷۰
Dy	۳,۰۳	۴,۰۶	۵,۰۳	۵,۰۳	۲,۶۶	۲,۴۴	۲,۶۱	۲,۶۹
Ho	۰,۶۱	۰,۸۰	۱,۰	۱,۱۰	۰,۵۴	۰,۴۹	۰,۶۹	۰,۷۲
Er	۱,۰۹	۱,۱۱	۱,۱۱	۲,۹۳	۱,۴۸	۱,۴۰	۱,۷۲	۱,۸۲
Tm	۰,۲۵	۰,۳۲	۰,۳۲	۰,۳۷	۰,۲۲	۰,۲۵	۰,۲۷	۰,۲۷
Yb	۱,۰۴	۱,۰۴	۱,۰	۱,۷۸	۱,۴۰	۱,۳۰	۱,۶۰	۱,۶۸
Lu	۰,۲۱	۰,۲۹	۰,۴۱	۰,۳۴	۰,۱۸	۰,۲۳	۰,۲۴	۰,۲۴



شکل ۴ (الف) نمودار چندعنصری نمونه‌های توده‌ی قلای لان، بهنجار شده با مقادیر [۱۶] (ب) الگوی توزیع عناصر نادرخاکی بهنجار شده با مقادیر کندریت [۱۷].



شکل ۵ (الف) نمودار هماهنگی و دریل برای زیرکن‌های توده قلای لان. ب) نگاره‌ی تراکم کرnel. به توزیع پیچیده‌ی سن‌های بازماندی بدست آمده توجه نمایید.



شکل ۶ جانمایی نمونه‌های قلای لان روی نمودار تفکیکی A1 و A2. (الف) [۲۰] (ب) نمودار تفکیکی A1 و A2 بر مبنای رابطه‌ی Th/Nb با [DOR: 20.1001.1.17263689.1396.25.1.6.5] Y/Nb. مقادیر نسبت به Earth Silicate بهنجار شده‌اند [۱۷].

زیرکن‌های بازماندی تنها در دو صورت شانس پایداری دارند: ۱) گرمای ماقما برای انحلال زیرکن‌ها کافی نباد است [۲۸]. فاکتورهای کینتیکی، انحلال زیرکن را به تاخیر انداختند. برای بررسی احتمال اول و به منظور تعیین گرمای ماقما از دماسنجد آمفیبیول – پلاژیوکلاز [۲۹] و مقایسه‌ی آن با دمای اشباع از زیرکن بهره جستیم. تعیین دمای اشباع از زیرکن که اولین بار توسط واتسون و هریسون [۳۰] و با استفاده از غلظت زیرکن و درصد وزنی اکسیدهای اصلی سنگ ارائه شده است، برای براورد گرمای ماقما بسیار مفید و کارآمد است. این روش محاسباتی، به تازگی مورد بازبینی قرار گرفته و معادله‌ای جامع تر و با دقت بیشتر ارائه شده است [۳۱]. ارتباط مستقیم حلالیت زیرکن با گرما، فراوانی این عنصر در سنگ‌های فلزیک و حدواسط و مقاومت بالای بلورها و توانایی انتقال به صورت بلورهای بازماندی این امکان را فراهم می‌کند تا با استفاده از آن، گرمای تشکیل گدازه‌ی فلزیک در پوسته را براورد کرد. نقش زیرکن‌های بازماندی در براورد گرمای ماقما انکارناپذیر است و در این میان برای ارائه تفسیر سنگ‌شناسی، هسته‌های بازماندی نسبت به بلورهای زیرکن موروثی با ارزش‌تر هستند؛ چراکه بلورهای موروثی ممکن است به صورت تصادفی و از آلایش با سنگ میزان و یا ورود مولفه‌های سنگ خاستگاه در اعمق وارد ماقما شده باشند.

معادله‌ی ارائه شده برای محاسبه دمای اشباع از زیرکن، به ازای طیف وسیعی از سنگ‌های ماقمایی کاربرد دارد و تنها گدازه‌های پرآلکالن و گدازه‌های خشک (با درصد وزنی آب کمتر از ۱/۵)، از مقدار واقعی انحراف نشان می‌دهد. علاوه‌بر این وجود کومولاهای زیرکن با افزایش غلظت زیرکنیم در گدازه، دمای اشباع از زیرکن را بالاتر از میزان واقعی نشان می‌دهد. وجود کومولاهایی از کانی‌های دیگر نیز دمای اشباع از زیرکن را پایین‌تر از حد واقعی نشان می‌دهد. خوشبختانه ماهیت سنگ‌های قلای لان متاآلومین، آبدار و بدون کومولاهای زیرکن بوده و در نتیجه بدون هیچ دغدغه‌ای می‌توان به دماهای اشباع از زیرکن اعتماد کرد.

دمای اشباع از زیرکن در سنگ‌های قلای لان در بازه‌ای از ۷۹۰ تا ۸۴۳ درجه‌ی سانتیگراد متغیر است که کمترین مقادیر، وابسته به سنگ‌های پورفیروئید حاشیه‌ای هستند. (جدول ۵).

توده‌ی قلای لان ویژگی‌های ایزوتوپی اولیه و مشابه با گوشته به نمایش می‌گذارد. $\epsilon_{\text{Nd}_{(150\text{Ma})}} = ۰.۶۴$ با مقادیر مثبت کوچک ($\epsilon_{\text{Nd}_{(150\text{Ma})}} = ۰.۶۴$) و سن مدل نئودیمیم در بازه‌ی زمانی نئوپروتروزوفیک (۶۴۸ – ۶۵۵ میلیون سال) از ویژگی‌های ایزوتوپی مختص قلای لان هستند. علاوه‌بر این، قلای لان دارای حجم قابل توجهی از هسته‌های بازماندی زیرکن است. نکته‌ی قابل تأمل دیگر، سن این هسته‌های بازماندی است که دامنه‌ای از ۲۳۰ تا ۲۷۰۰ میلیون سال را شامل می‌شود (شکل ۵). توزیع پیچیده‌ی سن‌های بازماندی با وجود نقاط اوج در نمودار کرنل از نئوآرکن (۲۷۰۰ Ma – ۲۶۰۰ ~)، پالئوپروتروزوفیک (۱۹۰۰ Ma – ۱۸۰۰ ~) و نئوپروتروزوفیک خودنمایی می‌کند.

چنین سن‌های بازماندی از بررسی‌های سن‌سنجد روی سایر توده‌های نفوذی دیگر سنندج-سیرجان نیز گزارش شده‌اند [۲۲، ۲۳]. طی سن‌سنجد اورانیوم – سرب توده‌ی الیگودرز (۱۶۵ Ma – ۲۰۷۷) سن‌های بازماندی با بازه‌ای از ۱۸۰ تا ۲۳۰ میلیون سال گزارش شده است [۲۳]. اولین توجیه ممکن از وجود چنین سن‌های بازماندی پان‌آفریکن و احتمالاً قدیم‌تر، دخالت و وجود مولفه‌های پوسته‌ای است؛ چنانکه سن‌های بازماندی توده‌ی الیگودرز نیز به هضم سنگ میزان نسبت داده شده است. ولی در مورد توده‌ی قلای لان موضوع به همین سادگی نیست و فراوانی زیرکن‌های بازماندی تنها با تاثیر سنگ میزان توجیه‌پذیر نیستند؛ زیرا نسبت‌های ایزوتوپی اولیه‌ی استرانسیم و نئودیمیم در سنگ‌های نفوذی قلای لان موید خاستگاهی گوشته‌ای برای توده هستند و از سوی دیگر، وجود حجم قابل توجه زیرکن‌های بازماندی در کنترل این توده را بسیار پیچیده‌تر می‌سازد. چراکه تشکیل گرانیت‌های نوع A مستلزم دمای ذوب بالاست [۲۴] و این ویژگی دمای بالا توسط بسیاری از پژوهندگان تایید شده است. اما مساله اینجاست که در دماهای بالا، بیشتر بلورهای زیرکن در ماقما به حالت محلول درآمده و ذوب می‌شوند (جدول ۴).

وجود چنین حجم بالای زیرکن‌های بازماندی در میگماتیت‌های دارای گدازه‌ی بسیار کم [۲۵] و یا شاره‌های پگماتوئیدی بسیار کم [۲۶] معمول به نظر می‌رسد اما چنین حجم بالایی از زیرکن‌های بازماندی در سنگ‌های فلزیک آتشفشنانی و گرانیتی دیده نمی‌شود [۲۷].

جدول ۴ ترکیب ایزوتوپ‌های نئودیمیم و استرانسیم نمونه‌های توده قلای لان.

نام نمونه	QAS2	QAS1
Rb (ppm)	۶۰/۱۵۲	۱۰۹/۵۰۶
Sr (ppm)	۱۰۷۴/۳۷	۹۱۶/۸۸
$^{۸۷}\text{Rb}/^{۸۶}\text{Sr}$	۰/۱۶۱۹۴۴۳۳	۰/۳۴۵۴۵۷۸
$^{۸۷}\text{Sr}/^{۸۶}\text{Sr}$	۰/۷۰۴۹۲۴	۰/۷۰۴۹۸۹
$^{۸۷}\text{Sr}7/\text{Sr}_{\text{i}}$	۰/۷۰۴۵۷۹	۰/۷۰۴۲۵۲
Nd (ppm)	۲۴/۱۶	۴۰/۵۲۷
Sm (ppm)	۴/۰۷۶	۶/۹۸۴
$^{۱۴۷}\text{Sm}/^{۱۴۴}\text{Nd}$	۰/۱۰۲	۰/۱۰۴
$^{۱۴۳}\text{Nd}/^{۱۴۴}\text{Nd}$	۰/۵۱۲۵۷۷	۰/۵۱۲۵۸۱
$^{۱۴۳}\text{Nd}/^{۱۴۴}\text{Nd}_{\text{i}}$	۰/۵۱۲۴۷۷	۰/۵۱۲۴۷۹
$\epsilon\text{Nd}_{\text{i}}$	۰/۶۲	۰/۶۶
T _{DM} (Ma)	۶۴۸	۶۵۵

جدول ۵ دمای اشباع از زیرکن (محاسبه شده به روش بوهنهکه [۳۱]).

نام نمونه	QAS6	QAS4	QAS5	QAS3	QAS7	QAS1	QAS8
M	۲/۰۳۱	۱/۹۶۳	۱/۶۴۷	۱/۵۷۲	۱/۸۳۳	۱/۶۵۶	۱/۸۷۹
Zr_obs	۲۹۰	۲۹۶/۶	۲۴۵/۳	۲۸۷/۶	۳۲۶/۲	۳۵۲/۲	۲۶۵
Zr_sat	۱/۷۸۸	۱/۶۸۷	۱/۲۱	۱/۵۱	۱/۳۰	۱/۵۷/۱	۱/۲۶/۹
TZr_sat_C	۷۹۰/۸	۷۹۷/۹	۸۰۴/۹	۸۱۰/۶	۸۱۶/۶	۸۱۸/۸	۸۲۰

حاصل از دماسنگی آمفیبیول - پلاژیوکلاز ($\text{Avg} = ۸۱۹^{\circ}\text{C}$) تفاوت قابل ملاحظه‌ای با دمای اشباع از زیرکن ($\text{Avg} = ۸۱۲^{\circ}\text{C}$) نشان نمی‌دهد؛ ولی همین دما حداً کثیری ماقماً برای انحلال کلیه زیرکن‌های موجود کافی به نظر می‌رسد. بنابراین، وجود این حجم زیرکن بازماندی، تنها با دلیل جریان ذوب سنگاولیه، فاکتورهای موثر در تاخیر انحلال بلورهای زیرکن عبارتند از محافظت دانه‌های زیرکن در داخل کانی‌های اصلی، مخزن ماقماًی جدا شده و کوچک و ذوب و انجامد سریع [۳۲]. با توجه به بالا بودن دمای اشباع از زیرکن در توده قلای لان، کانی بیوتیت که مهم‌ترین میزبان زیرکن به شمار می‌رود [۳۳]، خود درگیر ذوب بوده و نمی‌تواند سپری برای حفظ بلورهای زیرکن از انحلال باشد. علاوه بر این، در مورد توده‌ی قلای لان سن‌های بازماندی، حاصل از هسته‌های زیرکن هستند نه بلورهای مستقل موروثی، لذا احتمال اول یعنی محافظت توسط فازهای اصلی، منطقی نیست.

از آنجاکه بخش بزرگ محتوای عنصر زیرکنیم در ساختار بلورها وارد شده است، نه در گدازه، این دمای بالای اشباع از زیرکن با میانگین بیشتر از ۸۰۰ درجه‌ی سانتیگراد ($\pm ۱۶ \approx ۸۱۲/۵^{\circ}\text{C}$) نشان‌گر بالاترین حد گرمایی ماقماست [۲۷]. لذا با وجود دمای بالای اشباع از زیرکن، این توده جزء گرانیت سرد قابل رده‌بندی است [۲۷]. همچنین تنافق‌های چشمگیر موجود در قلای لان همچون حجم بالای زیرکن‌های بازماندی و دمای بالای اشباع از زیرکن، نشان از عدم تعادل در شرایط شکل‌گیری و انجماد ماقماست. داده‌های حاصل از دماسنگی آمفیبیول - پلاژیوکلاز بازه‌ی دمایی از ۷۸۱ تا ۸۵۷ درجه سانتیگراد برای ماقمای توده‌ی قلای لان نشان می‌دهد. انحلال زیرکن در گدازه‌های پوسته‌ای معمول، متأثر از ترکیب و دمای ماقماست [۳۰]؛ بطوریکه ماقمایی با درصد سیلیسیس ۶۸ تا ۷۲ درصد، در دمای ۸۰۰ درجه، ۱۳۱ تا ۱۴۸ ppm زیرکن را در خود حل می‌کند. با افزایش دما تا ۸۵۰ درجه سانتیگراد، این میزان به ۲۲۳ تا ۲۵۳ ppm افزایش می‌باید. با این تفسیرها، هرچند در نگاه اول دمای

برداشت

توده‌ی نفوذی قلای‌لان متشكل از سنگ‌های حدواسط و دارای منطقه‌بندی جانبی، متشكل از دو بخش ریزدانه و پورفیروئید است که در بخش مرکزی پهنه سنتنچ سیرجان رخمنون دارد. قلای‌لان دارای سنگ‌هایی با پتاسیم بالا، فروئن قلیایی (Ferroan) و از نوع Al که وجود حجم قابل توجه هسته‌های بازماندی زیرکن با دامنه‌ای از ۲۳۰ تا ۲۷۰۰ میلیون سال از ویژگی‌های منحصر به فرد توده قلای‌لان است. ذوب بخشی سریع و غیر تعادلی پوسته‌ای از پیش‌بارورشده، دارای ویژگی‌های ایزوتوپی اولیه و بدنبال آن انجماد سریع ماقمای مادر، سنگ‌های قلای‌لان را پدید آورده است. وجود منطقه‌بندی جانبی در توده، وجود سنگ‌هایی با بافت پورفیروئید، منطقه‌بندی نوسانی بلورهای پلاژیوکلاز و فراوانی زیرکن‌های بازماندی از شواهد این عدم تعادل هستند. مقادیر بالای غیر منتظره‌ی LILE هایی همچون Sr و Ba از شواهد بارور بودن پوسته بر اثر شاره‌های گوشته‌ای هستند.

قدرتانی

نگارنده از دست‌اندرکاران مرکز آزمایشگاهی دانشگاه گرانادا برای انجام تجزیه‌های لازم تشکر می‌نماید.

مراجع

- [1] Molnar M., "Tertiary Development of the Zagros Mountains", Geol.186 -earth history (2006).
- [2] Mouthereau F., Lacombe O., Vergés J., "Building the Zagros collisional orogen: Timing, strain distribution and the dynamics of Arabia/Eurasia plate convergence", Tectonophysics 532–535 (2012) 27-60.
- [3] Berberian F., Berberian M., "Tectono-plutonic episodes in Iran. In: Gupta, H.K., Delany, F.M., (Eds.), Zagros, Hindukush, Himalaya geodynamic evolution", American Geophysical Union Geodynamic Series 3 (1981) 5–33.
- [4] Agard P., Omrani J., Joliver L., Mouthereau F., "Convergence history across Zagros (Iran): constraints from collisional and earlier deformation," International Journal of Earth Sciences 94 (2005) 401–419.
- [5] Agard P., Omrani J., Jolivet L., Whitechurch H., Vrielynck B., Spakman W., Monie P., Meyer B., Wortel R., "Zagros Orogeny: a subduction-

بنابراین سرعت بالای انتقال گرما به پروتولیت و سرد شدن سریع ماقمای حاصل، تنها گزینه‌ی موثر در حفظ زیرکن‌های بازماندی است. بر مبنای مطالعات تجربی، ثابت شده که گرمای حاصل از نفوذ ماقمای مافیک، سریع‌ترین راه ذوب مواد پوسته‌ای است [۳۴]. فرایندهای موثر دیگر مانند واپاشی‌های رادیوژنیک و عوامل موثر زمین ساختی، زمان زیادی برای تغییر گردیده‌اند گرمایی پوسته نیاز دارند.

همچنین ماقمای فلزیکی که متأثر از گرمای تزریق ماقمای مافیک بوجود می‌آید، بیشینه‌ی دمایی حدود ۹۰۰ درجه‌ی سانتی‌گراد داشته و بلورهای بازماندی فراوان و بافت پورفیری از مهمترین سرشی‌های آن خواهد بود [۳۴]؛ یعنی مجموعه ویژگی‌هایی که در توده‌ی قلای‌لان دیده می‌شود. تشابه سن به دست آمده از توده‌ی قلای‌لان (159 ± 3) با سنگ‌های مافیک توده‌های نفوذی مجاور، تایید دیگری در ایده‌ی ذوب پوسته بر اثر تزریق ماقمای مافیک گوشته‌ای است [۱۹]. بنابراین در مورد توده‌ی قلای‌لان معتقدیم که تزریق ماقمای مافیک گوشته‌ای در عمق، باعث ذوب پوسته‌ای، دارای ویژگی‌های ایزوتوپی اولیه شده که تحت تاثیر شاره‌های منطقه‌ی فروزانشی از قبل بارور بوده است. ذوب و انجماد ماقمای مادر قلای‌لان، سریع و در شرایط غیر تعادلی بوقوع پیوسته که وجود منطقه‌بندی جانبی در توده، وجود سنگ‌های با بافت پورفیروئید، منطقه‌بندی نوسانی بلورهای پلاژیوکلاز و فراوانی زیرکن‌های بازماندی از شواهد این عدم تعادل هستند. بارور بودن پوسته بر اثر شاره‌های گوشته‌ای نیز می‌تواند توجیه کننده‌ی مقادیر بالای غیر منتظره‌ی LILE هایی همچون Sr و Ba باشد.

بررسی‌های پیشین، با استناد شواهد ژئوشیمی و ایزوتوپی، سنگ‌های توده‌ی قلای‌لان را آدکیت و از نوع آدکیت‌های HSA (آدکیت‌های دارای محتوای سیلیس بالا) معرفی می‌کنند [۱۱] نگارنده‌گان معتقدند که در تشکیل سنگ‌های توده‌ی قلای‌لان، پوسته نقشی نداشته و این سنگ‌ها شاهدی از برخورد قوس – قاره در ژوراسیک پسین هستند. این در حالی است که این بررسی شواهدی نوین از دخالت پوسته‌ای گندوانایی در سنگ‌های بخش میانی پهنه‌ی سنتنچ – سیرجان را به نمایش می‌گذارد.

- [15] Frost B.R., Barnes C.G., Collins W.J., Arculus R.J., Ellis D.J., Frost C.D., "A geochemical classification for granitic rocks", *Journal of Petrology*, 42 (2001) 2033–2048.
- [16] Hofmann A.W., "Chemical differentiation of the Earth: the relationship between mantle, continental crust, and oceanic crust", *Earth and Planetary Science Letters*, 90 (1988) 297–314.
- [17] McDonough W.F., Sun S.-S., "Composition of the Earth", *Chemical Geology* 120 (1995) 223–253.
- [18] DePaolo D.J., "Neodymium isotopes in the Colorado Front Range and implications for crust formation and Mantle evolution in the Proterozoic", *Nature* 291 (1981) 193–197.
- [19] Yajam S., Montero P., Scarro J., Ghalamghash J., Razavi S.M.H., Bea F., "The spatial and compositional evolution of the Late Jurassic Ghorveh-Dehgolan plutons of the Zagros Orogen, Iran: SHRIMP zircon U-Pb and Sr and Nd isotope evidence", *Geologica Acta* 13(1) (2015) 25–43.
- [20] Eby G.N., "Chemical subdivision of A-type granitoids: petrogenetic and tectonic implications", *Geology* 20 (1992) 641–644.
- [21] Moreno J. A., Molina J. F., Montero P., Abu Anbar M., Scarro J. H., Cambeses A., Bea F., "Unraveling sources of A-type magmas in juvenile continental crust: Constraints from compositionally diverse Ediacaran post-collisional granitoids in the Katerina Ring Complex, southern Sinai, Egypt.", *Lithos* 192–195 (2014) 56–85.
- [22] Chiu H.-Y., Chung S.-L., Zarrinkoub M.H., Mohammadi S.S., Khatib M.M., Iizuka Y., "Zircon U-Pb age constraints from Iran on the magmatic evolution related to Neotethyan subduction and Zagros orogeny", *Lithos* 162–163 (2013) 70–87.
- [23] Esna-Ashari A., Tiepolo M., Valizadeh M. V., Hassanzadeh J., Sepahi A.A., "Geochemistry and zircon U-Pb geochronology of Aligoodarz granitoid complex, Sanandaj-Sirjan Zone", *Iran Journal of Asian Earth Sciences* 43 (2012) 11–22.
- [24] Clemens J.D., Holloway J.R., White A.J.R., "Origin of an A-type granite: experimental constraints", *American Mineralogist* 71 (1986) 317–324.
- [25] Montero P., Bea F., Zinger T. F., Scarro J. H., Molina J. F., Whitehouse M. J., "55 million years of continuous anatexis in central Iberia: single zircon dating of the Penca Negra Complex", *dominated process*", *Geological Magazine* 148 (2011) 692–725.
- [6] Mohajjal M., Fergusson C.L., Sahandi M.R., "Cretaceous-Tertiary convergence and continental collision, Sanandaj-Sirjan Zone, Western Iran", *Journal of Asian Earth Sciences* 21 (2003) 397–412.
- [7] Mohajjal M., Fergusson C.L., "Tectonic to Cenozoic tectonics of the Zagros Orogen in northwestern Iran", *International Geology Review*, 56(3) (2014) 263–287.
- [8] Hassanzadeh J., Stockli D. F., Horton B. K., Axen G. J., Stockli L. D., Grove M., Schmitt A. K., Walker J. D., "U-Pb zircon geochronology of late Neoproterozoic-Early Cambrian granitoids in Iran: Implications for paleogeography, magmatism, and exhumation history of Iranian basement", *Tectonophysics* 451 (2008) 71–96.
- [9] Horton B.K., Hassanzadeh J., Stockli D.F., Axen G.J., Gillis R. J., Guest B., Amini A., Fakhari M.D., Zamanzadeh S.M., Grove M., "Detrital zircon provenance of Neoproterozoic to Cenozoic deposits in Iran: Implications for chronostratigraphy and collisional tectonics", *Tectonophysics* 451 (2008) 97–122.
- [10] Stöcklin J., "Possible Ancient Continental Margins in Iran. In: Burk, C.A. and Drake, C.L. (eds.)", *The Geology of Continental Margins*, New York, Springer-Verlag (1974) 873–887.
- [11] Azizi H., Zanjefili Beiranvand M., Asahara Y., "Zircon U-Pb ages and petrogenesis of a tonalite-trondhjemite-granodiorite (TTG) complex in the northern Sanandaj-Sirjan Zone, northwest Iran: Evidence for Late Jurassic arc-continent collision", *Lithos* 216 (2014) 178–195.
- [12] Montero P., Bea F., "Accurate determination of $^{87}\text{Rb}/^{86}\text{Sr}$ and $^{147}\text{Sm}/^{144}\text{Nd}$ ratios by inductively-coupled-plasma mass spectrometry in isotope geoscience: an alternative to isotope dilution analysis", *Analytica Chimica Acta*, 358 (1998) 227–233.
- [۱۳] حسینی اختیار آبادی م.، همکاران. "نقشه زمین شناسی ۱/۱۰۰۰۰۰ قروه، سازمان زمین شناسی و اکتشافات معدنی کشور". ۱۳۷۶
- [۱۴] اشرفی ص.ع.، همکاران. "نقشه زمین شناسی ۱/۱۰۰۰۰۰ سنقر، سازمان زمین شناسی و اکتشافات معدنی کشور". ۱۳۷۵

- [30] Watson E.B., Harrison T.M., "Zircon saturation revisited: temperature and composition effects in a variety of crustal magma types", *Earth and Planetary Science Letters* 64 (1983) 295–304.
- [31] Boehnke P., Watson B., Trail D., Harrison T.M., Schmitt A.K., "Zircon saturation revisited", *Chemical Geology* 351 (2013) 324 - 334.
- [32] Watson E. B., "Dissolution, growth and survival of zircons during crustal fusion: Kinetic principles, geological models and implications for isotopic inheritance", *Transactions of the Royal Society of Edinburgh: Earth Sciences* 87 (1996) 43-56
- [33] Bea F., "Controls on the trace element composition of crustal melts", *Transaction of the Royal Society of Edinburg, Earth Sciences* 87 (1996) 33–42.
- [34] Huppert H. E., Sparks S. J., "The generation of granitic magmas by intrusion of basalt into continental crust", *Journal of Petrology* 29 (1989) 599-624.
- Journal of the Geological Society, London 161 (2004) 255-264.
- [26] Gilotti J. A., McClelland W. C., *Leucogranites and the time of extension in the East Greenland Caledonides*, *Journal of Geology*, 113 (2005)399-417.
- [27] Miller C. F., McDowell S. M., Mapes R.W., "Hot and cold granites? Implications of zircon saturation temperatures and preservation of inheritance", *Geology* 31 (2003) 529-532.
- [28] Bea F., Montero P., Gonzalez-Lodeiro F., Talavera C., "Zircon Inheritance Reveals Exceptionally Fast Crustal Magma Generation Processes in Central Iberia during the Cambro-Ordovician", *Journal of petrology* 48 (2007) 2327-2339.
- [29] Holland T., Blundy J., " Non ideal interactions in calcic amphiboles and their bearing on amphibole – plagioclase thermometry", *Contributions to mineralogy and petrology* 116 (1994) 433-447.